



www.pm2020.it

Proceedings

Società Italiana di Aerosol



www.iasaerosol.it

A cura di:

IAS – Società Italiana di Aerosol
Via Gobetti 101, 40129 Bologna



ISBN 978-88-942135-3-9



La Società Italiana di Aerosol, in collaborazione con l'Istituto di Scienze dell'Atmosfera e del Clima del CNR e l'Università del Salento e la Provincia di Lecce, ha il piacere di annunciare PM2020 (IX Convegno Nazionale sul Particolato Atmosferico).

PM2020 è il nono convegno di una serie iniziata a Milano (2004) e proseguita con cadenza biennale a Firenze (2006), Bari (2008), Venezia (2010), Perugia (2012), Genova (2014), Roma (2016) e Matera (2018).

Dall'edizione del 2008, a seguito della costituzione della Società Italiana di Aerosol (IAS), il Convegno PM è diventato ufficialmente il congresso della associazione.

L'iniziativa, che si terrà nella splendida cornice della città di Lecce dal 14 al 16 ottobre 2020, metterà a confronto per alcuni giorni le diverse comunità scientifiche sui temi legati al particolato atmosferico, che spaziano dalla composizione chimica alle dinamiche di trasformazione e di trasporto in atmosfera, dal monitoraggio ai modelli di diffusione e di caratterizzazione delle sorgenti, dalla tossicità agli effetti sulla salute e, in generale, dalle strategie di intervento alla gestione delle problematiche in materia. Per questo, oltre che al mondo della ricerca scientifica nel campo della conoscenza ambientale, il convegno intende rivolgersi a tutti quei soggetti che in diversa misura sono chiamati ad operare in questo contesto, dal legislatore alle amministrazioni locali alle aziende dedicate allo sviluppo di tecnologie di controllo e abbattimento, fino al mondo dei media e dell'informazione.

Buon #PM2020!

Il Comitato Organizzatore

Comitato Scientifico

Elena Barbaro (CNR-ISP, Venezia)
Silvia Canepari (Università La sapienza di Roma)
Daniela Cesari (CNR-ISAC, Lecce)
Cristina Colombi (ARPA Lombardia)
Marianna Conte (CNR-ISAC, Lecce)
Daniele Contini (CNR-ISAC, Lecce)
Stefano Decesari (CNR-ISAC, Bologna)
Luca Ferrero (Università degli Studi di Milano-Bicocca)
Andrea Gambaro (Università Ca' Foscari di Venezia)
Maria Rachele Guascito (Università del Salento)
Cinzia Perrino (CNR-IIA, Montelibretti)
Adriana Pietrodangelo (CNR-IIA, Montelibretti)
Maria Chiara Pietrogrande (Università degli Studi di Ferrara)
Paolo Prati (Università degli Studi di Genova)
Roberta Vecchi (Università degli Studi di Milano)

Comitato Organizzatore

Carole Lecerf (IAS)
Daniele Contini (CNR-ISAC, Lecce)
Stefano Decesari (CNR-ISAC, Bologna)
Maria Rachele Guascito (Università del Salento)
Anna Rita De Bartolomeo (Università del Salento)
Eva Merico (CNR-ISAC, Lecce)
Adelaide Dinoi (CNR-ISAC, Lecce)
Fabio Massimo Grasso (CNR-ISAC, Lecce)
Marianna Conte (CNR-ISAC, Lecce)

Segreteria Organizzativa

Carole Lecerf (IAS)
Anna Rita De Bartolomeo (Università del Salento)
Eva Merico (CNR-ISAC, Lecce)

Sedi del Convegno

Officine Cantelmo - Viale Michele de Pietro 8/a – LECCE- Sessione apertura 14 ottobre 2020
Grand Hotel Tiziano - Via Porta d'Europa – LECCE – Convegno 14-16 ottobre 2020

INDICE

Keynotes & sessioni plenarie su invito

Il PM nel 2020: dai blocchi del traffico al lockdown	12
Inquinamento atmosferico e patrimonio culturale: impatti, metodi di indagine e strategie di conservazione preventiva.....	13
Valutazione del Danno Sanitario e procedura di riesame AIA.....	14
What goes up must come down – studying urban aerosol dynamics by quantifying vertical particle exchange.....	16
The Air of the Past - The European effort to obtain a 1.5 Myr greenhouse gas –climate feedback record from an ice core in East Antarctica.....	17
Il particolato atmosferico e i beni culturali	18

Contributi orali

Inquinamento Atmosferico e disordini del Sonno infantile a Bologna: risultati preliminari della prima campagna osservativa	20
Contributo primario del traffico delle grandi infrastrutture viarie	21
Analisi preliminare per la rappresentatività spaziale delle stazioni di monitoraggio di qualità dell'aria delle polveri nella Val d'Agri – Basilicata	22
Caratterizzazione del PM10 in alcune città lombarde	23
XMed-Dry network: results of the first year of sampling in Lecce	26
Un nuovo campionatore per studi di composizione delle frazioni fine e grossolana ad alta risoluzione temporale: STRAS (Size and Time Resolved Aerosol Sampler)	27
Associazione di indicatori urinari di ossidazione agli acidi nucleici con l'esposizione ad agenti chimici aerodispersi	28
Studio della componente minerale del particolato atmosferico nel plateau Antartico: il progetto SIDDARTA	29
Università & Source Apportionment - Sorgenti outdoor e indoor alla Sapienza nell'ambito del Progetto INAIL VIEPI-BRiC 22.....	30
Qualità dell'aria in 6 città europee tramite sensori low-cost, modelli di dispersione lagrangiani e modelli di traffico: il progetto TRAFAIR.....	31
Confronto di risultati di concentrazione in massa di rBC e EC durante campagne di misura svolte in diversi siti Europei	33
Le api e i prodotti dell'alveare come bioindicatori della qualità dell'aria	34
Identificazione delle sorgenti del particolato atmosferico a Delhi e Pechino tramite campionamento ad alta risoluzione temporale	35
Effetti dell'inquinamento urbano ed industriale sul polline di olivo	36
Black and brown carbon heating rate from mid-latitudes to the Arctic along two years (2018-2019) of research cruises in the context of Arctic Amplification	37

Sigaretta elettronica (e-cig): dalla caratterizzazione chimica dei liquidi di ricarica alla valutazione della formazione di particelle ultrafini	39
Mappatura di inquinanti organici aerodispersi mediante lichene <i>Evernia prunastri</i> in un'area a elevato impatto antropico (Italia centrale)	40
Monitoraggio real-time del particolato atmosferico per la definizione dei tassi di emissioni diffuse e fuggitive da impianto trattamento inerti	41
Valutazione della qualità dell'aria all'interno delle strutture ospedaliere	42
Valutazione della capacità di componenti selezionate di PM di indurre stress ossidativo in un organismo vegetale modello	43
Evoluzione delle metodologie di valutazione del contributo di un impianto industriale sulle polveri in ambito urbano	45
Influenza delle capacità di dispersione della bassa atmosfera sulle variazioni temporali della concentrazione del PM e delle sue componenti chimiche	47
Composizione chimica dell'aerosol organico e sorgenti di composti climalteranti nelle regioni Artiche	48
Studio delle performances analitiche dell'analizzatore termo-ottico per la misura di EC e OC in campioni di aerosol polare	49
Alberi urbani e cattura di polveri sottili: la zona e le specie giuste	50
Sostanze psicotrope in Italia dieci anni dopo	51
PM in ambienti di studio universitari: stagionalità, composizione chimica, sorgenti, infiltrazione dall'esterno	52
L'epidemiologia molecolare come strumento per la valutazione del rischio genotossico in aree ad alto impatto ambientale	53
Studio della variazione di potenza carcinogena di IPA su PM10 all'interno di un edificio pubblico in area urbana	55
Concentration and chemical composition of atmospheric particulate matter at the Galleria Borghese (Rome)	57
Valutazione dell'efficienza dell'utilizzo di foglie di <i>A. donax</i> L. per il biomonitoraggio delle concentrazioni atmosferiche di componenti elementari di PM ₁₀	58
Efficacia dell'utilizzo combinato di diversi dataset ad alta risoluzione temporale: risultati da uno studio avanzato di <i>source apportionment</i> a Roma	60
Caratterizzazione di particelle atmosferiche sub-micrometriche in un sito di fondo urbano del Sud Italia	61
A wavelet analysis and a multiresolution decomposition of urban aerosol fluxes	62
Stainless-steel diffusion screens in size-resolved ultrafine particle concentration measurements with a condensation particle counter – validation and performance evaluation	63
Indicatori d'impatto delle emissioni naturali e antropiche nelle polveri	64
Assessment of the cytotoxicity, oxidative potential, and genotoxic activity of PM10: a case study at different sites in the South of Italy	66
Applicazione del saggio del DPPH per la valutazione delle proprietà riducenti del particolato atmosferico	68

Impatto del traffico navale sulla concentrazione di particelle di diversi intervalli dimensionali in due città dell'Adriatico Settentrionale	69
L'analisi termo ottica del particolato atmosferico per la determinazione di OC/EC: un'applicazione particolare ai problemi di cava.....	70
Risultati preliminari sulla correlazione fra aerosol biogenico e produttività primaria nel mare di Ross (progetto PNRA16-00065_BioAPRoS).....	71
Caratterizzazione delle emissioni di carburanti per aviazione: Fossili vs Bio.....	72
Comunità Batterica e Composizione Chimica in Campioni di PM ₁₀ : Nuovi Approcci di Analisi Integrando Differenti Tecniche	73
Esposizione indiretta della popolazione agli inquinanti organici persistenti attraverso le deposizioni atmosferiche di materiale particellare sedimentabile nell'area di Taranto	75
Caratterizzazione della fase organica del particolato nelle polveri di deposizione in ambienti indoor	76
Source apportionment del PM _{2.5} e del potenziale ossidativo in un sito industriale	78
The mechanism behind haze formation in Beijing	80
Caratterizzazione di idrocarburi policiclici aromatici e i loro prodotti di ossidazione nel Particolato Atmosferico urbano.....	81
Concentrazioni di ammoniaca presso sorgenti agricole: caratterizzazione dei siti e confronto tra due tecniche di spandimento liquami.....	82
Effetti della combustione delle biomasse nell'inquinamento urbano	83
Studio dell'impatto della combustione della legna sui livelli di particolato e di Benzo(a)pirene a Bormio, località montana delle Alpi Retiche.....	85
Caratterizzazione chimica di particolato in dodici diverse classi dimensionali.....	87
Misure di aerosol radioattivi naturali per la stima dello strato di rimescolamento e dei tempi di residenza delle particelle in atmosfera	88
Inter-confronti di misure del coefficiente di assorbimento a più lunghezze d'onda e impatto modelli di apporzamento ottico.....	89
Il contributo dello spray marino al PM ₁₀ valutato attraverso l'approccio modellistico: i risultati ottenuti dal sistema SPARTA e confronto con i dati sperimentali nell'ambito del progetto PATOS	91
Una nuova metodologia per classificare l'aerosol atmosferico combinando diverse proprietà ottiche: Risultati da una campagna invernale a Roma	92
Distribuzione dimensionale di ioni organici e inorganici dell'aerosol Artico: sorgenti e trasporto in una serie temporale di un anno	94
Class Modeling (SIMCA) del particolato atmosferico della regione Friuli Venezia Giulia in base al contenuto di 11 metalli nel PM ₁₀	95
Idrocarburi policiclici Aromatici aero-dispersi in ambienti di lavoro indoor e outdoor presso un impianto cokeria.....	96
Evidenze emerse dal monitoraggio di PM ₁₀ , IPA, metalli e VOC in siti Indoor & Outdoor presso le scuole di un quartiere limitrofo allo stabilimento siderurgico di Taranto.....	97
ChAMBRé: condizioni atmosferiche vs. bio-aerosol	98

Monitoraggio del bioaerosol in luoghi di lavoro mediante <i>biomarker</i> chimici	99
Simulazioni alla microscala (PMSS) di inquinanti emessi dal riscaldamento residenziale con biomassa nel comune di Torchiarolo	100
Studio dei nuclei di ghiacciamento (INP) atmosferici e delle loro sorgenti a Ny- Ålesund, durante la primavera-estate 2018	101
Identificazione delle sorgenti ed evoluzione temporale della componente inorganica del PM ₁₀ raccolto nei pressi di Ny-Ålesund (Artide)	102
Nuovi Approcci per il Confronto di Metriche Chimiche e Biologiche su Filtri di Particolato Atmosferico.....	103
Monitoraggio invernale di PM ₁₀ , PM _{2.5} e Benzo(a)Pirene in alcuni piccoli centri suburbani del Salento	104
Studio dell'impatto tossicologico del PM con la Camera di Simulazione Atmosferica ChAMBRé	106

Poster

Aerosol atmosferico: capacità nucleanti e ripetibilità del processo di attivazione	108
Monitoraggio dell'emissione di nanoparticelle durante la produzione di rivestimenti antibatterici nanostrutturati	109
Primi risultati della campagna 2019 sulla qualità dell'aria nel sito di Ahtopol (Bulgaria)	110
Chimica, Chimici ed Etica Ambientale: un connubio possibile.....	111
Sensori elettrochimici innovativi basati sullo sviluppo di elettrodi nano/microstrutturati per la misura del potenziale ossidativo del particolato atmosferico	112
Studio preliminare dell'esposizione occupazionale dei lavoratori addetti alla erogazione dei carburanti nel territorio calabrese al PM ₁₀ e BTX utilizzando dati da satellite ed in superficie.....	114
Qualità dell'aria negli ambienti di lavoro: valutazione <i>indoor</i> di formaldeide.....	115
Caratterizzazione del Particolato Atmosferico PM ₁₀ nel Mediterraneo (Isole Ponziane - Ventotene LT)	116
Caratterizzazione di un evento di polvere Sahariana durante una campagna intensiva di misura nell'osservatorio GAW di Lamezia Terme	118
Possible health effects related to oxidative potential of PM _{2.5} and PM ₁₀ : study in an urban background site in Lecce	119
Monitoraggio delle deposizioni atmosferiche di inquinanti inorganici nella città di Taranto e valutazione degli andamenti.....	121
Osservazioni sulle concentrazioni di diossine e furani misurate durante le situazioni emergenziali	122
Determination of the bio-derived carbon fraction in particulate matter by radiocarbon AMS	123
Heating rate light absorbing aerosol at tropics: the EUREC ⁴ A campaign.....	124
Modelli statistici per la qualità dell'aria a Milano dopo l'introduzione di Area B	125
Valutazione Integrata di Impatto Sanitario e Ambientale (VIAS) delle emissioni dell'impianto siderurgico di Taranto e della centrale termoelettrica di Brindisi.....	127

Evoluzione spazio-temporale della componente inorganica di deposizioni atmosferiche raccolte nella Terra Vittoria (Antartide).....	129
La Valutazione del danno sanitario nell'area di Brindisi: un esempio di buona pratica nella procedura di gestione del rischio in ambito di Autorizzazione Integrata Ambientale.....	130
Distribuzione spaziale su microscala delle concentrazioni di VOC attraverso un modello statistico di regressione	131
Campagna sperimentale per la messa a punto di un sistema innovativo per il campionamento del PM prodotto dalla combustione di biomassa legnosa.....	132
Utilizzo del <i>source apportionment</i> modellistico per valutare il contributo di specifiche sorgenti alle concentrazioni di particolato nella regione Puglia	133
Esiti delle rilevazioni vento-selettive di provenienza dei microinquinanti organici in aria ambiente a Taranto, rilevati nel corso di campagne effettuata nel quartiere Tamburi, nel 2014-2016-2018, ai fini dello studio delle sorgenti emissive	134
Concentrazione di massa di particolato <i>ultrafine, fine e coarse</i> aerodisperso in luoghi di lavoro ..	135
Determinazione di ritardanti di fiamma in campioni di polvere collezionati in ambienti domestici e lavorativi	137
Sviluppo di un metodo per la determinazione quali-quantitativa di esteri organofosfati in particolato aerodisperso mediante GC-MS	138
Identificazione rapida e non distruttiva di eventi Saharan Dust nei filtri di particolato atmosferico attraverso la spettroscopia in riflettanza diffusa UV-Vis	139
Analisi di campioni di aerosol atmosferico in due siti spagnoli (Sierra Nevada e Granada) e loro comparazione nell'ambito del progetto <i>FRESA</i>	140
Contaminanti organici in ambienti ospedalieri	141
Inquinanti organici nel particolato aerodisperso e nelle dust raccolte in parallelo in un appartamento	142
Valutazione delle performance di campionatori e analizzatori smart per il campionamento di PM e per il monitoraggio di BTX, O ₃ , NO ₂ , PM 10/2.5 e BC	143
Valutazione delle concentrazioni di PM ₁₀ durante i giorni di wind days nella città di Taranto	144
Studio delle condizioni operative di dosaggi spettrofotometrici per la misura del potenziale ossidativo del Particolato Atmosferico	145
Procedura di reverse modelling per la stima del flusso di emissione di NH ₃	146
Caratterizzazione chimica delle emissioni navali nell'area portuale della città di Napoli	147
Monitoraggio simultaneo indoor ed outdoor di Composti Organici Volatili (VOC) e Total VOC in una scuola secondaria di II grado della provincia leccese	149
La rete osservativa CNR-ISAC per lo studio dell'inquinamento e del clima: l'importanza del monitoraggio di black carbon.....	150
Il progetto OT4CLIMA e l'attività di caratterizzazione delle emissioni da incendi	152
Utilizzo del coefficiente di assorbimento dell'aerosol a più lunghezze d'onda in uno studio di <i>source apportionment</i> avanzato per ricavare parametri d'assorbimento sorgente-dipendenti.....	154
Individuazione degli episodi di intrusioni di polvere sahariana e di trasporto di spray marino nell'ambito del progetto PATOS 3	155

Contributo primario del traffico delle grandi infrastrutture viarie	156
Analisi di Idrocarburi Policiclici Aromatici nel PM: confronto tra SPE su polimeri a stampo molecolare e SPME per la purificazione del campione	157
Effect of atmospheric particulate deposits and their chemical composition on the electrical conductivity of the transmission network insulators.....	158
Valutazione dell’impatto sulla qualità dell’aria in ambienti indoor ed outdoor durante le operazioni di bonifica e messa in sicurezza del SIN (Sito di Interesse Nazionale) di Tito Scalo (Potenza)	159
Particle bound mercury measurements (PBM) during the Fenice 2013 cruise campaign in the Eastern Mediterranean region	160
Il progetto Life PREPAIR: i primi risultati del monitoraggio della qualità dell’aria	161
Andamento dell’acidità dell’aerosol calcolata a partire dalla composizione chimica della nebbia in Pianura Padana negli ultimi 25 anni.....	162
Studio sugli effetti dei parchi urbani su microclima e inquinanti	163
Evaluation of PMX concentrations and gaseous micro-pollutants in a high traffic area in Milan..	164
Destino del particolato atmosferico nel sottosuolo	165
Variabilità stagionale della composizione e del potenziale ossidativo del PM ₁₀ e del PM _{2.5} in un fondo urbano del Sud Italia.....	166
Effetti sulla qualità dell’aria nella città di Brindisi degli eventi di attivazione di sistemi di torcia a servizio del Polo Petrochimico.	167
Traccianti chimici del fumo da tabacco in ambienti indoor.....	168
Variabilità a scala globale delle proprietà ottiche dell’aerosol dalla rete GAW di stazioni di monitoraggio dell’atmosfera	169
Monitoraggio della qualità dell’aria indoor in aule e laboratori di università e scuole mediante sensori in-situ	170
Rilevazioni di PM ₁₀ in aria ambiente nel quartiere Tamburi a Taranto nel corso degli eventi di Wind Days di ottobre e novembre 2017	171
Caratterizzazione delle proprietà chimico-fisiche e morfologiche ed identificazione delle sorgenti dell’aerosol in Val d’Agri (Sud Italia)	172
Ricostruzione della concentrazione in numero delle particelle ultrafini in ambito urbano tramite un modello GAM	173
Effetti delle emissioni di Black Carbon in due siti in prossimità del centro di pre-trattamento del petrolio il Val d’Agri.....	174
Studio della qualità dell’aria all’interno della Pinacoteca Ambrosiana di Milano	175
Un episodio di dust storm dal Caspio al nord Italia.....	177

Caratterizzazione di idrocarburi policiclici aromatici e i loro prodotti di ossidazione nel Particolato Atmosferico urbano

Mara Russo*, Giorgia Demaria, Maria Chiara Pietrogrande

Dipartimento di Chimica e Scienze Farmaceutiche, Università di Ferrara, Ferrara, 44121

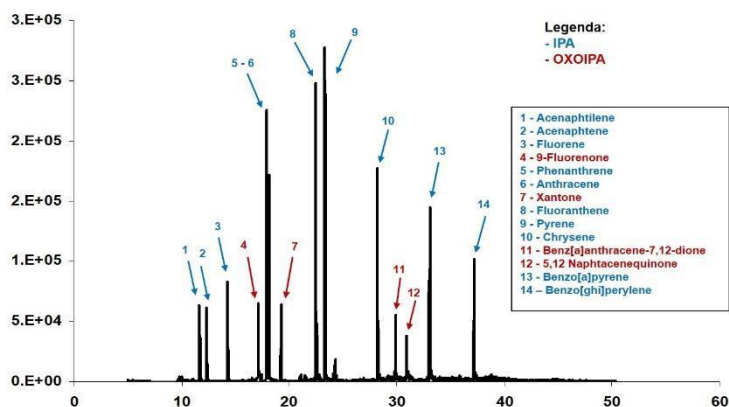
* Corresponding author. Tel: 0532455152, E-mail: rssmra1@unife.it

Keywords: idrocarburi policiclici aromatici, chinoni e idrossi-chinoni, potenziale ossidativo.

La nota tossicità degli idrocarburi policiclici aromatici adsorbiti sul PM, in particolare per la loro attività cancerogena/mutagena, può essere ulteriormente aumentata dalla presenza dei loro prodotti di ossidazione oxo-IPA, in quanto composti redox-attivi responsabili di effetti tossici indotti da stress ossidativo [1]. In questo lavoro si sono studiate procedure analitiche basate su analisi gascromatografica (GC/MS) per quantificare IPA e oxo-IPA nel PM, con particolare riferimento ai composti generalmente presenti in atmosfera.

Data la polarità degli oxo-IPA, il metodo di analisi convenzionale prevede una reazione preliminare di derivatizzazione per migliorarne la ritenzione in GC e la sensibilità analitica, mediante la conversione nei loro diacetil derivati utilizzando anidride acetica in presenza di zinco.

Come alternativa a questo metodo laborioso, il quale prevede un elevato consumo di reattivi e solventi, viene proposta una procedura con microestrazione in fase solida (SPME), un metodo “green” svolto in un unico step senza l’utilizzo di solventi, al fine di ridurre i tempi di analisi. Nello studio si sono confrontate fasi adsorbenti con diversa polarità, in base al recupero di estrazione di IPA e oxo-IPA: Polidimetilsilossano non polare, Polidimetilsilossano/Divinilbenzene mediamente polare e Poliaccrilato polare (riportato in Figura).



Cromatogramma GC/MS (modalità SIM) di una miscela di IPA e oxo-IPA ($0.2 \text{ ng } \mu\text{l}^{-1}$ in MeOH) dopo estrazione SPME con fibra di Poliaccrilato

In generale, la procedura si dimostra adatta all’analisi di IPA e Oxo-IPA nel PM: dopo un’opportuna validazione del metodo, essa è stata applicata a campioni reali di $\text{PM}_{2.5}$ raccolti nel sito urbano di Bologna durante la primavera 2019.

Bibliografia

[1] F. Cervellati et al., (2020). Chemosphere, 240, 124746



ISBN 978-88-942135-3-9

